

METODA CIASNEGO WIGRANIA (Tight-binding) DO OBLCZANIA STRUKTURY ELEKTRONOCWYZ NANOSTRUKTOR

WIELOSCALOWE METODY MODELOWANIA NANOSTRUKTOR

- METODY AB-INITIO
 - EMPIRYCZNE METODY
 - ▼ ciasnego - wigrania
 - ▼ empirycznego - pseudopotencjatu
 - METODY CIĄGŁE
 - ↔ materia opisana przez podanie pewnych charakterystycznych elementów np. masa efektywna
- } szczegóły struktury na skali atomowej

(Mamy N-elektronów w polu jąder atomowych
(ogółem potencjały zewnętrzne)
→ problem w fizyce materii skondensowanej)

Hamiltonian układu

$$\hat{H}_{el} = \underbrace{\sum_i \frac{-t_i^2}{2m_e} \nabla_i^2}_{\hat{T}} + \underbrace{\sum_i V_{ext}(\vec{r}_i)}_{\hat{V}_{ext}} + \underbrace{\sum_{i \neq j} \frac{e^2}{|\vec{r}_i - \vec{r}_j|}}_{\hat{V}_{int}} \quad (\text{Eq. } *)$$

$$\hat{H}_{tot} = \hat{H}_{el} + \hat{T}_n + \sum_{\alpha, \beta} \frac{z_\alpha z_\beta e^2}{|\vec{R}_\alpha - \vec{R}_\beta|}$$

$$\hat{V}_{ext}(\vec{r}_i) = \sum_\alpha \frac{-z_\alpha e^2}{|\vec{R}_\alpha - \vec{r}_i|} \quad ; \quad \hat{T}_n = \sum_\alpha \frac{-t_\alpha^2}{2M_\alpha} \nabla_\alpha^2$$

Prybliżenie Borna - Oppenheimera

Prybilizenie Born - Oppenheimera

Może rozseparować muchy jąder od nukleusów elektronów

Potem

$$\hat{H}_{\text{tot}} \bar{\Psi}(\vec{r}_1, \dots, \vec{r}_N, \vec{R}_1, \dots, \vec{R}_N) = E \bar{\Psi}(\vec{r}_1, \dots, \vec{r}_N, \dots)$$

Potocia jąder traktujemy jako parametry Hamiltonianu elektronowego

$$\hat{H}_{\text{el}} \bar{\Psi}(\vec{r}_1, \dots, \vec{r}_N, \{ \vec{R}_x \}) = E_{\text{el}}(\{ \vec{R}_x \}) \bar{\Psi}(\vec{r}_1, \dots, \vec{r}_N)$$

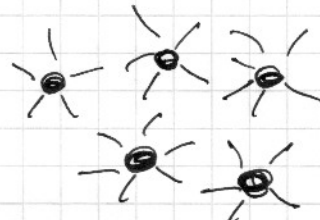
Sciste rozwierzganie tylko dla 1 elektronu!

Niezbędne praktyczne dla nanostruktur!

Teoria Funkcjonalu Gęstości
 Sformułowanie Kohna - Shama



uktad oddziaływających elektronów



uktad niezależnych (nieoddziaływujących) elektronów w efekcie wynikłe potencjalne ruchomosci

⇒ Istnieje sciste odwzorowanie pomiędzy uktadami

Jednoelektronowa gęstość i energia stanu podstawowego są identyczne

$$\hat{H}_{\text{el}} \bar{\Psi}(\vec{r}_1, \dots, \vec{r}_N) = E \bar{\Psi}(\vec{r}_1, \dots, \vec{r}_N) \quad \left(-\frac{\hbar^2}{2m_e} \nabla^2 + V(\vec{r}) \right) \varphi_i(\vec{r}) = E_i \varphi_i(\vec{r})$$

$$Q(\vec{r}) = \sum_i^{\text{occ}} \varphi_i^*(\vec{r}) \varphi_i(\vec{r})$$

$$v^{ks}(\vec{r}) = v_{ext}(\vec{r}) + v_{xc}(\vec{r})$$

R lokalny potencjał

$$v_{xc}(\vec{r}) = \frac{\delta E_{xc}[g]}{\delta g} \leftarrow \text{pochodna funkcjonalna}$$

$$\boxed{\left(-\frac{\hbar^2}{2m_e} \nabla^2 + v^{ks}(\vec{r}) \right) \varphi(\vec{r}) = \epsilon \varphi(\vec{r})} \quad (\text{Eq. } **)$$

Równania Kohna - Shama \Leftrightarrow Schrödinger-like problem

Jak rozwiązać równanie?

Rozkład funkcji $\varphi(\vec{r})$ na funkcje bazy

$$\varphi(\vec{r}) = \sum_{\alpha} c_{\alpha} \chi_{\alpha}(\vec{r})$$

- $\chi_{\alpha} = e^{i\vec{G} \cdot \vec{r}}$ - fale piaskie

- $\chi_{\alpha} = \chi_{at}(\vec{r} - \vec{R}_{\alpha})$ - orbitale atomowe

Metoda LCAO (linear combination of atomic orbitals)

Metoda Tight-Binding

uproszczona metoda LCAO

$$\hat{H} \varphi(\vec{r}) = \epsilon \varphi(\vec{r})$$

$$\varphi(\vec{r}) = \sum_{\alpha} c_{\alpha} \chi_{\alpha}(\vec{r})$$

χ_{α} - orbitale centrowane na atomie α

Mamy policyjne elementy macierowe

w α moimy włączone inne litery (w, l, m)

$H_{\alpha\alpha} := \langle \chi_{\alpha} | \hat{H} | \chi_{\alpha} \rangle \rightarrow$ on-site el. macierowe
oraz

$H_{\alpha\beta} := \langle \chi_{\alpha} | \hat{H} | \chi_{\beta} \rangle \rightarrow$ hopping matrix elements
(el. macierowe przeskoków)

$S_{\alpha\beta} := \langle \chi_{\alpha} | \chi_{\beta} \rangle$ całkowate uzupełnianie

Równanie własne

$$(H_{\alpha\beta} - E S_{\alpha\beta}) c_{\beta} = 0$$

Trudność LCAO - skomplikowane obliczanie elementów macierzowych

Metoda Ciasnego-wigrania

Potrafimy obliczać elementy macierzowe

$$\begin{aligned} H_{\alpha\alpha} &\equiv \epsilon_{\alpha} \\ H_{\alpha\beta} &\equiv t_{\alpha\beta} \\ S_{\alpha\beta} \end{aligned} \quad \left. \begin{array}{l} \text{jako} \\ \text{parametry} \\ \text{empiryczne} \end{array} \right.$$

Możemy powiedzieć, nie znamy funkcji bazy
nie znamy Hamiltonianu
znamy elementy macierzowe

- Jeśli założymy, że funkcje bazy są ortonormalne (ortonormalne) to $S_{\alpha\beta} \equiv \delta_{\alpha\beta}$

Hamiltonian ciasnego-wigrania możemy zapisać

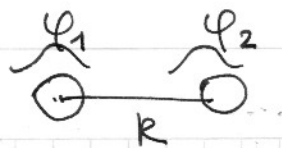
$$H_{TB} = \sum_{\alpha} \epsilon_{\alpha} |\alpha\rangle \langle \alpha| + \sum_{\alpha, \beta} t_{\alpha\beta} |\alpha\rangle \langle \beta|$$

lub używając notacji liczb ośadzonych
(drugi kwantyzacji)

$$H_{TB} = \sum_{\alpha} \epsilon_{\alpha} \hat{c}_{\alpha}^+ \hat{c}_{\alpha} + \sum_{\alpha, \beta} t_{\alpha\beta} (\hat{c}_{\alpha}^+ \hat{c}_{\beta} + \hat{c}_{\beta} \hat{c}_{\alpha}^+)$$

\hat{c}_{α} (\hat{c}_{α}^+) operator anihilacji (wstęgi) stanu $|\alpha\rangle$

Przykład: Molekuła H_2



$$|\alpha\rangle, |\beta\rangle \in \{|\varphi_1\rangle, |\varphi_2\rangle\}$$

zakładamy, i.e. $\langle \varphi_1 | \varphi_2 \rangle = \delta_{12}$

$$\langle \varphi_1 | H | \varphi_1 \rangle = \langle \varphi_2 | H | \varphi_2 \rangle = \epsilon$$

$$\langle \varphi_1 | H | \varphi_2 \rangle = \langle \varphi_2 | H | \varphi_1 \rangle^*$$

$$\langle \varphi_1 | H | \varphi_2 \rangle = t \quad \text{zatem, i.e. } t \in \mathbb{R}^1$$

$$H_{TB} = \epsilon(|1\rangle\langle 1| + |2\rangle\langle 2|) + t(|1\rangle\langle 2| + |2\rangle\langle 1|)$$

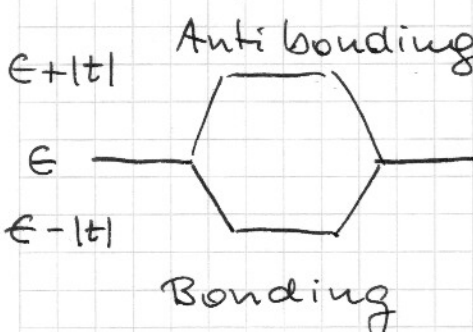
Policzmy elementy macierzowe

$$H_{11} = \langle 1 | H_{TB} | 1 \rangle = \epsilon$$

$$H_{22} = \langle 2 | H_{TB} | 2 \rangle = \epsilon$$

$$H_{12} = \langle 1 | H_{TB} | 2 \rangle = t$$

$$H_{21} = \langle 2 | H_{TB} | 1 \rangle = t$$



$$\rightarrow \begin{vmatrix} \epsilon - \epsilon, & t & |(c_1) \\ t, & \epsilon - \epsilon & |(c_2) \end{vmatrix} = 0$$

$$(\epsilon - \epsilon)^2 - t^2 = 0$$

$$\epsilon^2 - 2\epsilon\epsilon + \epsilon^2 - t^2 = 0$$

$$\epsilon_1 = \epsilon - |t|$$

$$\epsilon_2 = \epsilon + |t|$$

Miejsce w powyższym przykładzie

jeden orbital na węzeł sieci. (oznaczamy $|i\rangle$)

Rozpatrzmy teraz atomy wodoru utworzone w sieci perioedycznej (dalej mamy 1 orbital na jeden węzeł sieci)

Jeżeli chcemy zbadać strukturę pasmową (strukturę elektronową kryształu) to musimy utworzyć funkcje Blocha

$$|\vec{k}\rangle = \frac{1}{N} \sum_i e^{i\vec{k}\cdot\vec{R}_i} |i\rangle$$

\uparrow
N liczbą atomów w krysztale

(6)

$$\epsilon(\vec{u}) = \langle \vec{u} | H_{TB} | \vec{u} \rangle = \frac{1}{N} \sum_i \sum_j e^{-i\vec{u} \cdot \vec{R}_i} e^{i\vec{u} \cdot \vec{R}_j} \langle i | H_{TB} | j \rangle$$

$$= \frac{1}{N} \sum_i \sum_j e^{i\vec{u} \cdot (\vec{R}_j - \vec{R}_i)} \langle i | H_{TB} | j \rangle$$

$$\langle i | H_{TB} | j \rangle = \int \varphi(\vec{r} - \vec{R}_i) H_{TB} \varphi(\vec{r} - \vec{R}_j) d^3 r =$$

$$= \int \varphi(\vec{r}) H_{TB} \varphi(\vec{r} - (\vec{R}_j - \vec{R}_i)) d^3 r$$

$$\epsilon(\vec{u}) = \sum_\ell e^{i\vec{u} \cdot \vec{R}_\ell} \langle 0 | H_{TB} | \ell \rangle \quad \vec{R}_\ell = \vec{R}_j - \vec{R}_i$$

$$\epsilon(\vec{u}) = \epsilon_0 + \sum_{\ell \neq 0} e^{i\vec{u} \cdot \vec{R}_\ell} t_{0\ell} \quad \text{Pamiastamy jedna orbital uzupełni}$$

Bardzo często zakładamy, że $t_{0\ell} \neq 0$ tylko, gdy ℓ jest najbliższym sąsiadem "0".

Tu jest takich sąsiadów zależy od sieci

Zauważmy, że wanny sieci kubicznej o stałej sieci a wtedy atom "0" ma sześciu najbliższych sąsiadów

$$R_1 = (\pm a, 0, 0)$$

$$R_2 = (0, \pm a, 0)$$

$$R_3 = (0, 0, \pm a)$$

Zauważmy, że parametr kątowy pomiędzy pierwszymi sąsiadami to t .

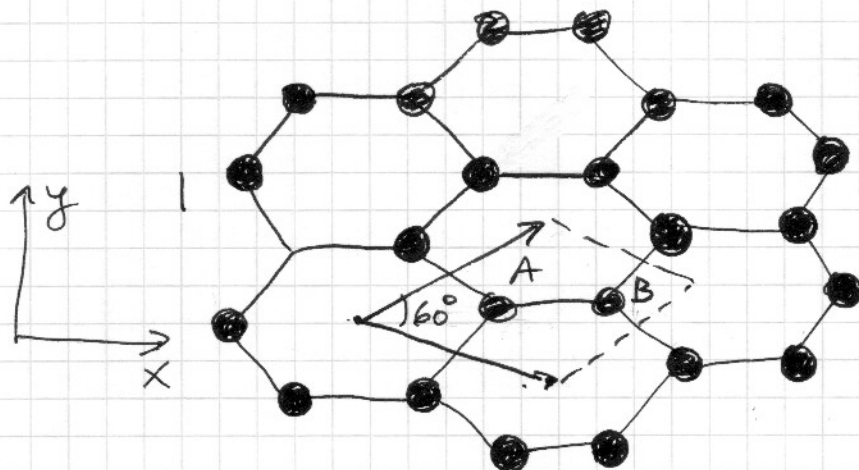
$$\epsilon(\vec{u}) = \epsilon_0 + t \left\{ e^{ik_x a} + e^{-ik_x a} + e^{ik_y a} + e^{-ik_y a} + e^{ik_z a} + e^{-ik_z a} \right\}$$

$$\epsilon(\vec{u}) = \epsilon_0 + 2t (\cos k_x a + \cos k_y a + \cos k_z a)$$

Jeden orbital na atom

Dwa atomy w komórce elementarnej

Struktura pasmowa grafenu



$$\vec{a}_1 = \left(\frac{\sqrt{3}a}{2}, \frac{a}{2} \right) \quad \vec{a}_2 = \left(\frac{\sqrt{3}a}{2}, -\frac{a}{2} \right)$$

$a = |\vec{a}_1| = |\vec{a}_2|$ stała sieci grafenu

$$\vec{b}_1 = \left(\frac{2\pi}{\sqrt{3}a}, \frac{2\pi}{a} \right) \quad \vec{b}_2 = \left(\frac{2\pi}{\sqrt{3}a}, -\frac{2\pi}{a} \right)$$

$$a = \sqrt{3} a_{C-C}$$

Mamy dwa atomy w komórce elementarnej
A i B.

Musimy utworzyć funkcje Blochowe
związanego z komórką z tymi atomami

$$\varphi_A(\vec{u}) = \frac{1}{\sqrt{N}} \sum_{\vec{k}} e^{i \vec{u} \cdot \vec{k}} \varphi(\vec{r} - \vec{r}_A - \vec{R})$$

$$\varphi_B(\vec{u}) = \frac{1}{\sqrt{N}} \sum_{\vec{k}} e^{i \vec{u} \cdot \vec{k}} \varphi(\vec{r} - \vec{r}_B - \vec{R})$$

$$\varphi(\vec{u}) = C_A \varphi_A(\vec{u}) + C_B \varphi_B(\vec{u})$$

$$\begin{pmatrix} h_{AA}(\vec{u}) - E & h_{AB}^* \\ h_{AB} & h_{BB} - E \end{pmatrix} \begin{pmatrix} C_A \\ C_B \end{pmatrix} = 0$$

Policząc strukturę pasmową grafenu zaktadaję
spojenie + pomiędzy najbliższymi sąsiadami
(ćwiczenia)

Jeżeli zauważymy, że z wektorem sieci "mamy" związane wiele orbitali (indeksujemy pasek) to Hamiltonian ciasnego-wiązania ruchu ruchu zapisać powinno być bardziej ~~określać~~ explicitie indeksy orbitali do hamiltoniana

$$H_{TB} = \sum_{\alpha} \sum_i \epsilon_{\alpha}^i |\phi_{\alpha}^i\rangle \langle \phi_{\alpha}^i| + \sum_{\alpha \beta} t_{\alpha \beta}^{ij} |\phi_{\alpha}^i\rangle \langle \phi_{\beta}^j|$$

Struktura pasmowa diamentu z prostej metody tight-binding.

Weźmy diament

Atom węgla ma orbitali s i p

Komórka primitive diamentu (f.c.c)

$$\vec{a}_1 = \frac{\alpha}{2} (\vec{e}_2 + \vec{e}_3)$$

$$\vec{a}_2 = \frac{\alpha}{2} (\vec{e}_1 + \vec{e}_3)$$

$$\vec{a}_3 = \frac{\alpha}{2} (\vec{e}_1 + \vec{e}_2)$$

Dwa atomy w komórce elementarnej

$$\vec{x}_1 = 0$$

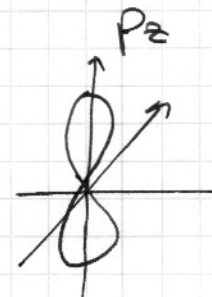
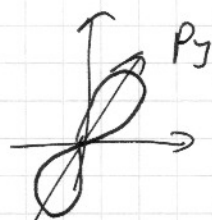
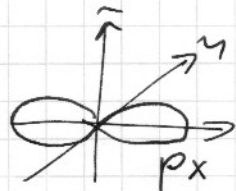
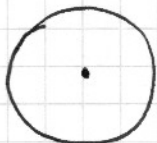
$$\vec{x}_2 = \frac{1}{4} (\vec{e}_1 + \vec{e}_2 + \vec{e}_3)$$

$$\text{Wektory sieci } \vec{R} = n\vec{a}_1 + m\vec{a}_2 + l\vec{a}_3$$

Orbitali atomowe

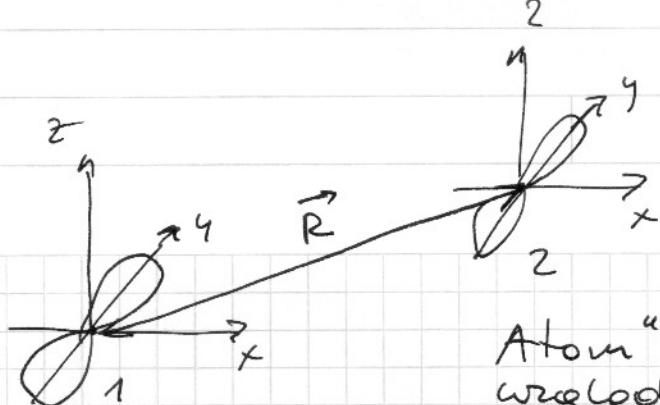
$$\phi_{\alpha}^i(\vec{r} - \vec{R}_i) = R_{\alpha}(|\vec{r} - \vec{R}_i|) Y_{lm}(\widehat{\vec{r} - \vec{R}_i}) \quad \alpha = (n, l, m)$$

walencyjne $S_{l=0}, P_{l=1}$



Rzeczywiste harmoniki sferyczne

9

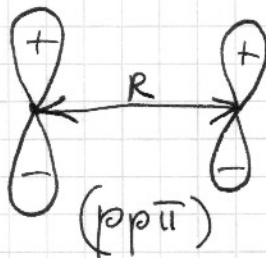
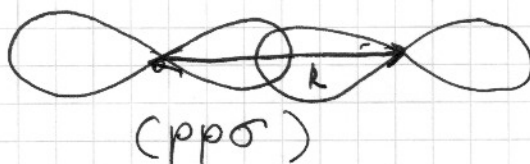
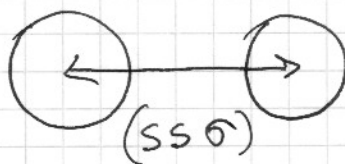


Atom "2" położony w punkcie \vec{R} względem atomu "1"

Jak zależy elementy $\langle \psi_y(\vec{r}) | H_{TB} | \psi_y(\vec{r}-\vec{R}) \rangle$ od wektora \vec{R} ?

Oczywiście zależy od $|\vec{R}|$ ale zależy także od cosinusów kierunkowych wektora \vec{R}

Dwuciątowe przybliżenie



$t_{ss\sigma}(R)$, $t_{sp\sigma}(R)$

$t_{pp\sigma}(R)$, $t_{pp\pi}(R)$

$\langle \psi_y(\vec{r}) | H_{TB} | \psi_y(\vec{r}-\vec{R}) \rangle$ wyrasta się przez $t_{pp\sigma}$ i $t_{pp\pi}$